

# ALDで成膜したRu膜のin-situ XPS測定

浅沼周太郎<sup>1</sup>、津川智広<sup>2</sup>、小次洋平<sup>2</sup>、Bolotov Leonid<sup>1</sup>、内田紀行<sup>1</sup>

1. 産総研
2. 田中貴金属工業株式会社

2025/8/6

施設共用におけるALD成膜のユーザー事例紹介

NATIONAL INSTITUTE OF  
**ADVANCED  
INDUSTRIAL  
SCIENCE &  
TECHNOLOGY**

# 研究背景

金属配線の現状と課題  
Subtractiveプロセスとダマシンプロセス

# 研究背景

## 金属配線の現状と課題

現在、金属配線として使用されている**Cu**はエッティングによる微細加工に適していない(エッティングガスとの反応物が揮発性でない)

→ダマシンプロセスにより微細加工

銅は絶縁体中に拡散しやすいため、ダマシンプロセスで微細加工する際にTaN等のバリアメタルを使用

→微細化が進みバリアメタルの体積比が増えた関係等で比抵抗が上昇



### Cu以外の金属配線の模索

Fuchs-Sondheimerの式

(表面散乱等を考慮した抵抗に関する理論式)

$\rho_0$ :室温での抵抗率、 $\lambda$ :平均自由行程

$h$ :配線の高さ、 $w$ :配線幅、 $p$ :反射度

$$\rho_s = \rho_0 \frac{3}{8} C (1 - p) \left( \frac{1}{h} + \frac{1}{w} \right) \lambda$$

$\rho_0 \lambda$ が小さい程、電子の表面散乱による抵抗率は低い

→プラチナ族の $\rho_0 \lambda$ が低い

→価格の関係で**Ru**が候補に

# 研究背景

Ru膜を用いたSubtractiveプロセス

IMEC

Ru はRIEを用いることでほぼ垂直に配線形状に加工できる  
→Subtractiveプロセスの復活

ALDを用いてRu膜を成膜するための  
プリカーサの開発が進められている

# 研究背景



pubs.acs.org/cm

Article

## Atomic Layer Deposition of Ru for Replacing Cu-Interconnects

Yohei Kotsugi, Seung-Min Han, Youn-Hye Kim, Taehoon Cheon, Dip K. Nandi, Rahul Ramesh, Neung-Kyung Yu, Kirak Son, Tomohiro Tsugawa, Shigeyuki Ohtake, Ryosuke Harada, Young-Bae Park, Bonggeun Shong,\* and Soo-Hyun Kim\*

Cite This: *Chem. Mater.* 2021, 33, 5639–5651

Read Online

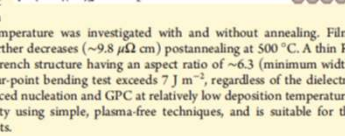
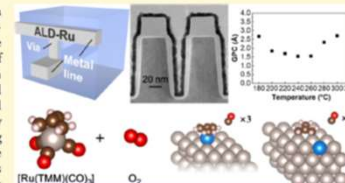
ACCESS |

Metrics & More

Article Recommendations

Supporting Information

**ABSTRACT:** The atomic layer deposition (ALD) of Ru using a metal-organic precursor, tricarbonyl(trimethylenemethane)ruthenium  $[\text{Ru}(\text{TMM})(\text{CO})_3]$  and  $\text{O}_2$  as a reactant is reported. The high vapor pressure, thermal stability, and relatively small ligands of the precursor facilitate efficient ALD. Typical self-limiting growth and an ALD temperature window of 220–260 °C are observed along with significantly high growth per cycle (GPC) (~1.7 Å) and short incubation cycles (~6) at 220 °C. Density functional theory calculations indicate that the high growth rate and self-limiting behavior can be attributed to the characteristics of the trimethylenemethane ligand. The as-grown polycrystalline films (average grain size ~20 nm and negligible impurities) were evident from plan-view transmission electron microscopy. The variation in film resistivity with increasing film thickness and deposition temperature was investigated with and without annealing. Films deposited at 260 °C show low resistivity (~12.9  $\mu\Omega \text{ cm}$ ), which further decreases (~9.8  $\mu\Omega \text{ cm}$ ) postannealing at 500 °C. A thin Ru film is successfully deposited with 100% step-coverage on a dual-trench structure having an aspect ratio of ~6.3 (minimum width: ~15 nm). The interfacial adhesion energy measured using the four-point bending test exceeds 7  $\text{J m}^{-2}$ , regardless of the dielectric material and annealing treatment. The Ru precursor permits enhanced nucleation and GPC at relatively low deposition temperatures to construct high-quality Ru films with significantly low resistivity using simple, plasma-free techniques, and is suitable for the fabrication of emerging Ru films to replace Cu-based interconnects.



Y. Kotsugi et al., *Chem. Mater.* 2021, 33, 5639–5651

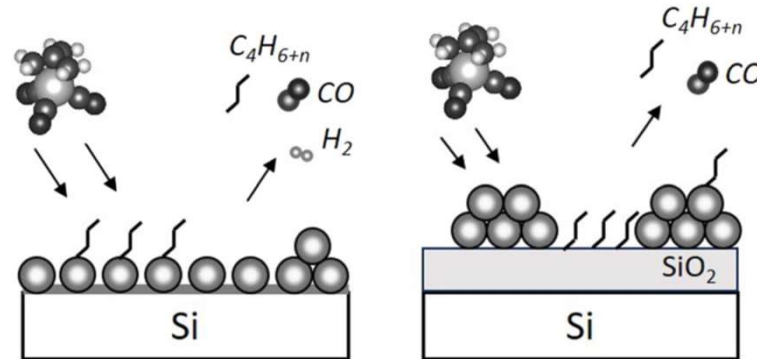
田中貴金属工業株式会社

Ru膜用プリカーサ

$[\text{Ru}(\text{TMM})(\text{CO})_3]$  (トリカルボニル(トリメチレンメタン)ルテニウム)  
を開発

# 研究目的

Ru(TMM)(CO)<sub>3</sub>プリカーサの基板表面における膜成長の初期過程の観察  
H:Si(100)とSiO<sub>2</sub>/Si(100)基板上での成長挙動と電気特性の差異を評価



L. Bolotov et al., Jpn. J. Appl. Phys.  
63, 085502 (2024)

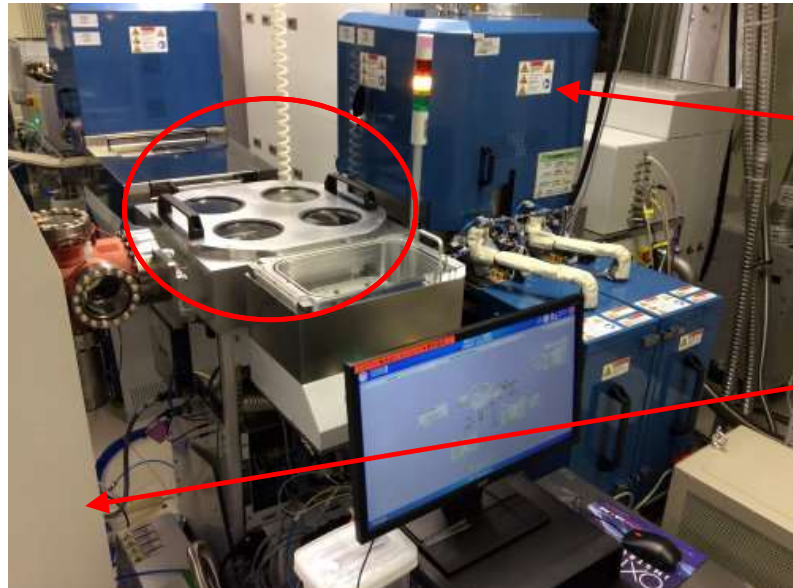
## 主な分析方法

走査型トンネル顕微鏡(STM)及びトンネル分光(STS)を用いた観察と分析

STM/STS測定の結果をin-situ XPS測定、TEM観察等を用いて補足

⇒本発表ではALDで成膜したRu膜のin-situ XPS測定の結果について報告する

# 実験方法



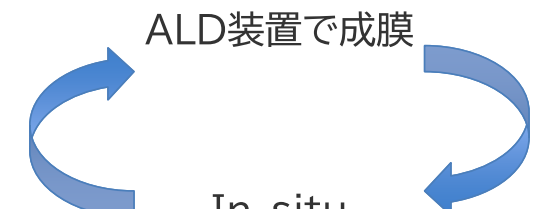
【NPF102】原子層堆積装置\_3[FlexAL]

- ・メーカー:オックスフォードインスツルメント
- ・型式:FlexAL(オックスフォードインスツルメンツ)
- ・試料サイズ:4インチφ
- ・基板温度:100-550°C
- ・プラズマALD:600W(誘導結合型)
- ・基板バイアス:100W
- ・反応ガス:重水, O<sub>2</sub>, ピュアオゾン, N<sub>2</sub>, H<sub>2</sub>, D<sub>2</sub>, NH<sub>3</sub>, ND<sub>3</sub>



【NPF103】原子層堆積装置\_3付帯XPS装置

- ・メーカー:アルバック・ファイ
- ・型式:Quantera II
- ・試料サイズ:4インチφ
- ・X線源:単色化Al k $\alpha$ (ローランド直径 200 mm)
- ・光電子分光器:静電半球型(軌道直径279.4 mm)
- ・検出器:マルチチャネル検出器(32 ch)
- ・スペクトル分析:0~1467 eV
- ・イメージング:最小ビーム径7.5 μm,  
最大走査範囲1.4 mm×1.4 mmのSXIイメージング
- ・最小スペクトル分析面積:7.5 μm $\phi$  (20% - 80%knife edge法)
- ・エネルギー分解能:0.48 eV(Ag 3d5/2光電子ピーク半値幅)
- ・帶電中和:10 eV以下電子と5~10 eV Arイオン同時照射
- ・光電子取り出し角度:45°(標準)



大気暴露することなくALD成膜  
とXPS測定が可能

# 実験方法

## 成膜条件

プリカーサ:Ru(TMM)(CO)<sub>3</sub>

成膜温度:150°C~230°C

反応剤:なし、H<sub>2</sub>、O<sub>2</sub>

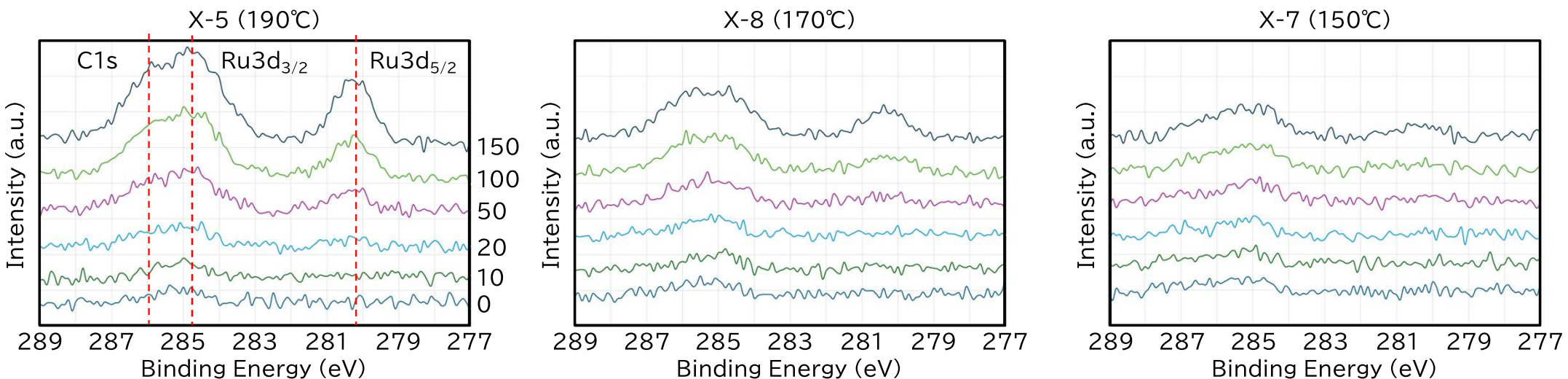
方式:サーマルALD

基板	反応剤	温度 °C	Precursor 曝露時間 (per cycle)	Precursor 圧力	Precursor 曝露量 ×10 <sup>6</sup> L (per cycle)	反応剤 曝露時間 (per cycle)	反応剤 圧力	備考	試料名称
SiO <sub>2</sub> /Si(100)	なし	230	1s	10.7 Pa	0.0963	10s	10.7 Pa	0-150cycle	X-1
SiO <sub>2</sub> /Si(100)	なし	190	1s	10.7 Pa	0.0963	10s	10.7 Pa	0-150cycle	X-2
H-Si(100)	H <sub>2</sub>	190	2s	10.7 Pa	0.1926	10s	10.7 Pa	0-150cycle	X-3
H-Si(100)	O <sub>2</sub>	190	1.5s	10.7 Pa	0.1444	10s	10.7 Pa	0-150cycle	X-4
H-Si(100)	なし	190	1.5s	10.7 Pa	0.1444	10s	10.7 Pa	0-150cycle	X-5
H-Si(100)	H <sub>2</sub>	190	1.5s	10.7 Pa	0.1444	10s	10.7 Pa	0-150cycle	X-6
H-Si(100)	なし	150	1.5s	10.7 Pa	0.1444	10s	10.7 Pa	0-150cycle	X-7
H-Si(100)	なし	170	1.5s	10.7 Pa	0.1444	10s	10.7 Pa	0-150cycle	X-8
SiO <sub>2</sub> /Si(100)	H <sub>2</sub>	190	1.5s	10.7 Pa	0.1444	10s	10.7 Pa	0-150cycle	X-9
SiO <sub>2</sub> /Si(100)	H <sub>2</sub>	230	1.5s	10.7 Pa	0.1444	10s	10.7 Pa	0-150cycle	X-10

# 実験結果

## 温度依存

基板	反応剤	温度 °C	Precursor 曝露時間 (per cycle)	Precursor 圧力	Precursor 曝露量 x10 <sup>6</sup> L (per cycle)	反応剤 曝露時間 (per cycle)	反応剤 圧力	備考	試料名称
H-Si(100)	なし	190	1.5s	10.7 Pa	0.1444	10s	10.7 Pa	0-150cycle	X-5
H-Si(100)	なし	150	1.5s	10.7 Pa	0.1444	10s	10.7 Pa	0-150cycle	X-7
H-Si(100)	なし	170	1.5s	10.7 Pa	0.1444	10s	10.7 Pa	0-150cycle	X-8

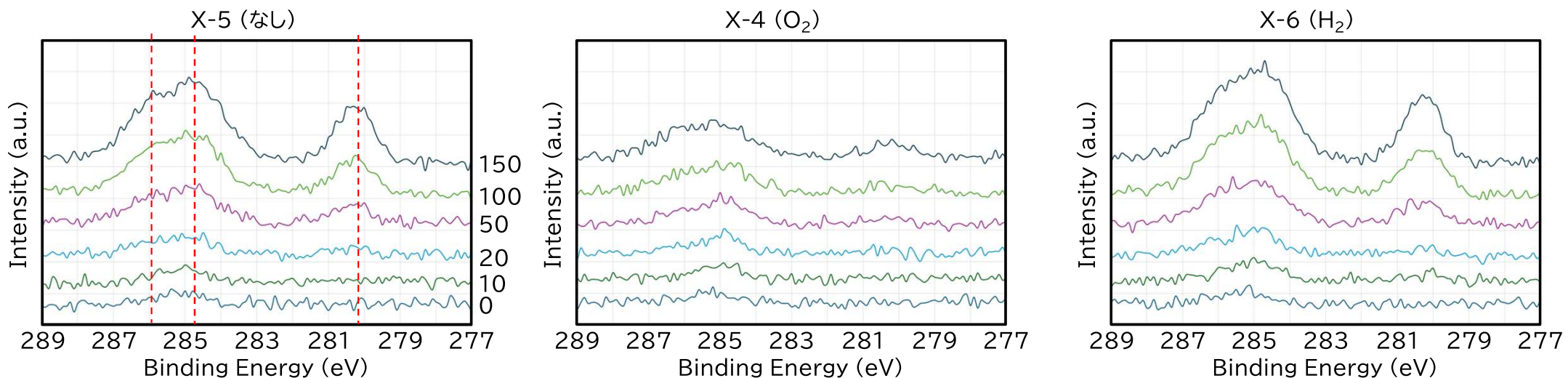


150°C-190°Cの範囲では成膜温度が高い程XPS強度が強い(成膜速度が速い)

# 実験結果

## 反応剤依存

基板	反応剤	温度 °C	Precursor 曝露時間 (per cycle)	Precursor 圧力	Precursor 曝露量 $\times 10^6$ L (per cycle)	反応剤 曝露時間 (per cycle)	反応剤 圧力	備考	試料名称
H-Si(100)	O <sub>2</sub>	190	1.5s	10.7 Pa	0.1444	10s	10.7 Pa	0-150cycle	X-4
H-Si(100)	なし	190	1.5s	10.7 Pa	0.1444	10s	10.7 Pa	0-150cycle	X-5
H-Si(100)	H <sub>2</sub>	190	1.5s	10.7 Pa	0.1444	10s	10.7 Pa	0-150cycle	X-6

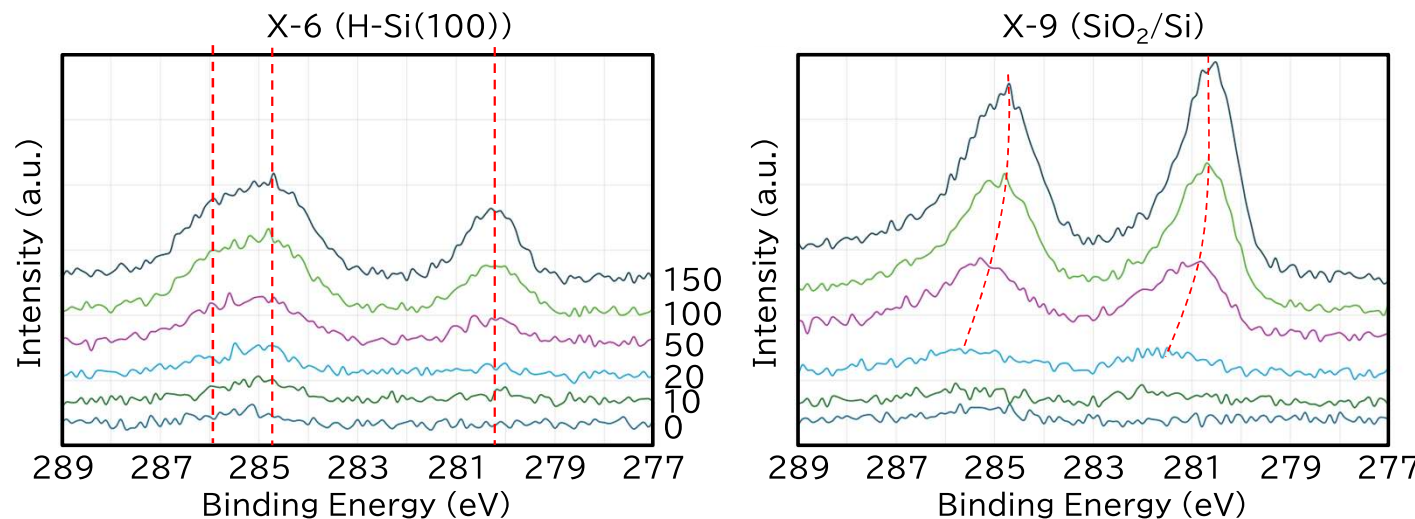


成膜温度が190°Cの場合、反応剤にH<sub>2</sub>を使用したの時のXPS強度が強い(成膜速度が速い)

# 実験結果

## 基板依存

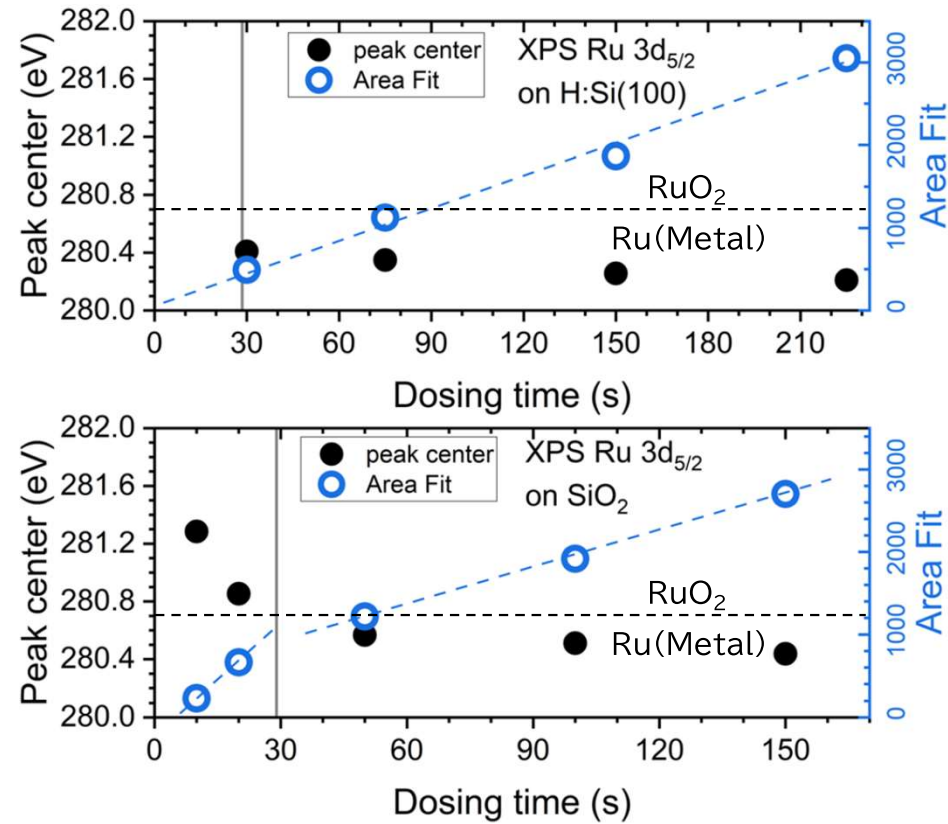
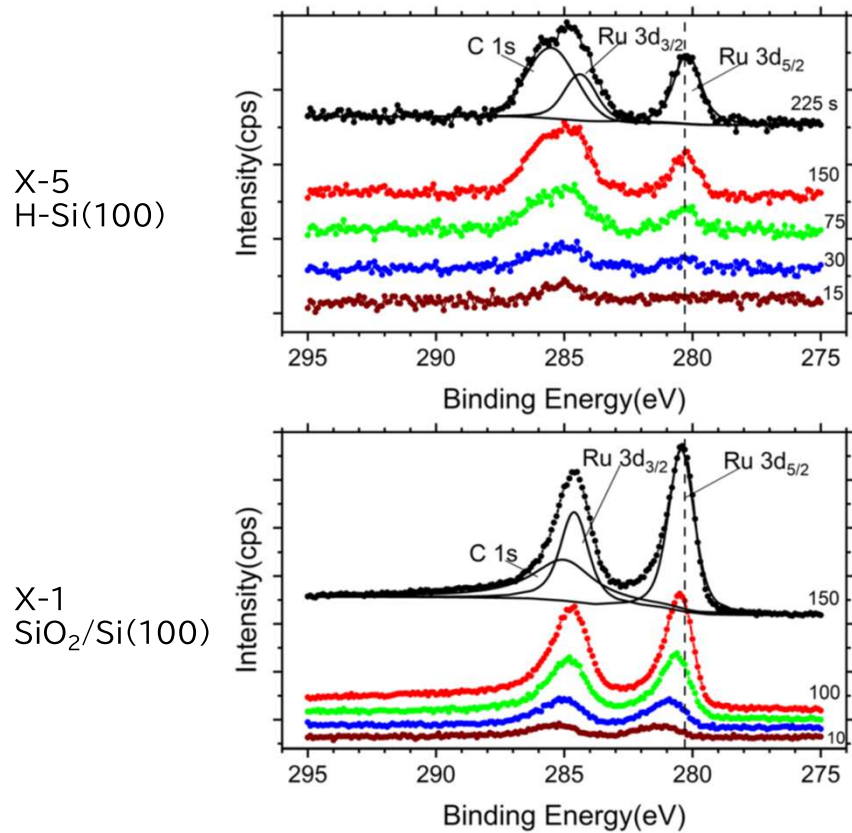
基板	反応剤	温度 °C	Precursor 曝露時間 (per cycle)	Precursor 圧力	Precursor 曝露量 $\times 10^6$ L (per cycle)	反応剤 曝露時間 (per cycle)	反応剤 圧力	備考	試料名称
H-Si(100)	H <sub>2</sub>	190	1.5s	10.7 Pa	0.1444	10s	10.7 Pa	0-150cycle	X-6
SiO <sub>2</sub> /Si(100)	H <sub>2</sub>	190	1.5s	10.7 Pa	0.1444	10s	10.7 Pa	0-150cycle	X-9



SiO<sub>2</sub>/Si基板を用いた方がXPS強度が強い(成膜速度が速い)。  
また、成膜初期はRuのピークが高エネルギー側に出る。

# 実験結果

## ピークエネルギー分析



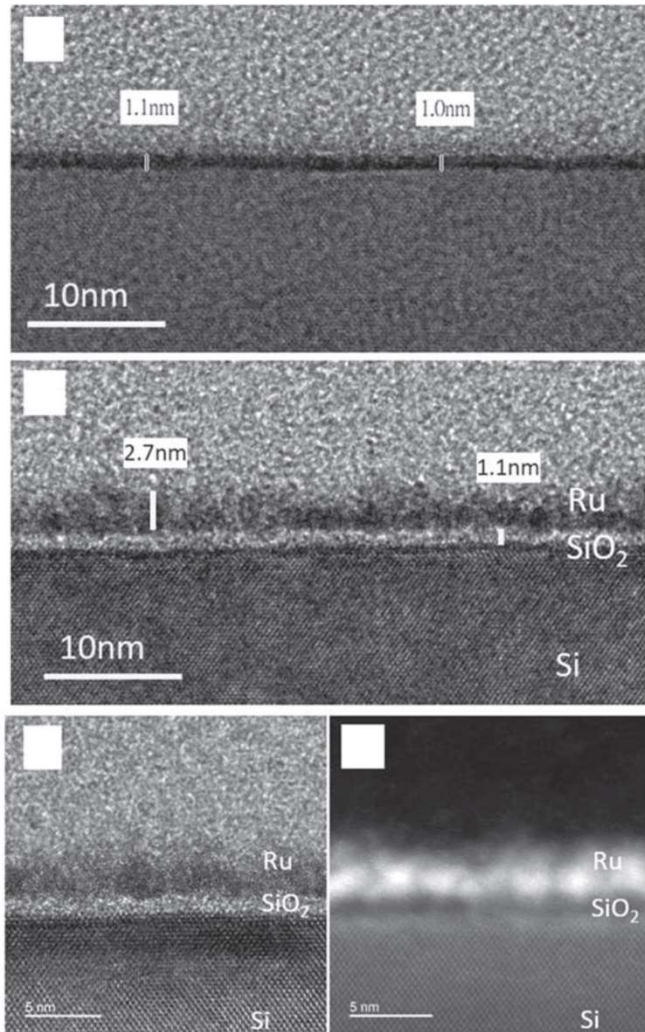
L. Bolotov et al., Jpn. J. Appl. Phys. 63, 085502 (2024)

H-Si(100)上:一定の成膜速度、金属的

SiO<sub>2</sub>/Si(100)上:30cycle前後で成膜速度が異なる。30cycle前はRuO<sub>2</sub>的、後は金属的に変化

# 実験結果

## TEM像での整合性



30cycle成膜時

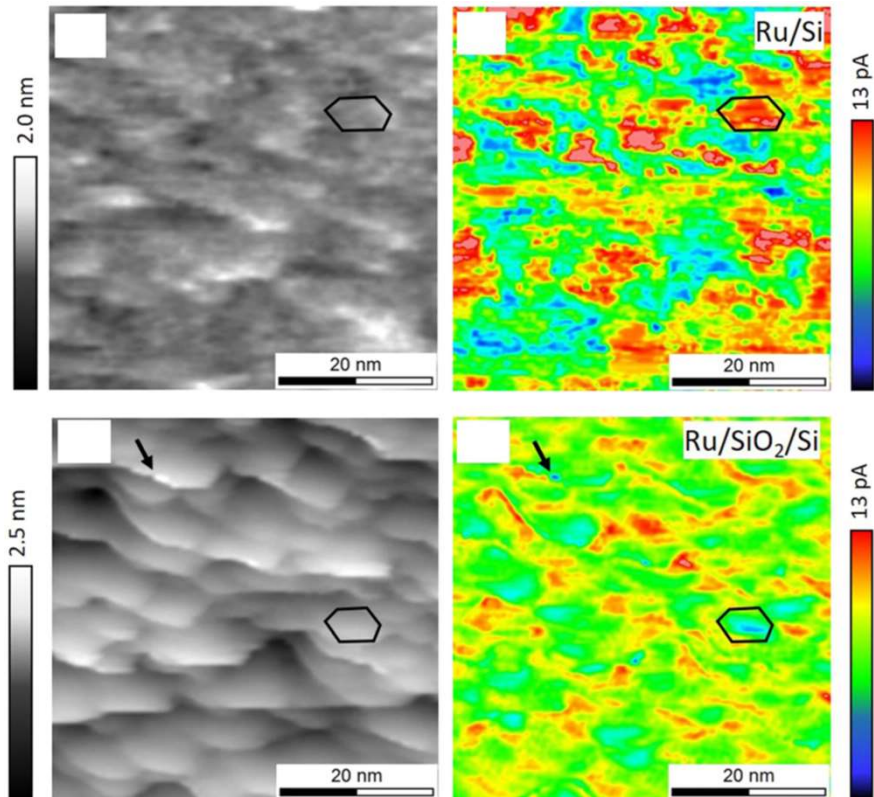
H-Si(100)上:  
緻密で平坦なRu膜

SiO<sub>2</sub>/Si(100)上:  
粒子(島)状のRuの集まり

膜厚はSiO<sub>2</sub>/Si上の膜の方が厚い

# 実験結果

## SPM測定結果との整合性

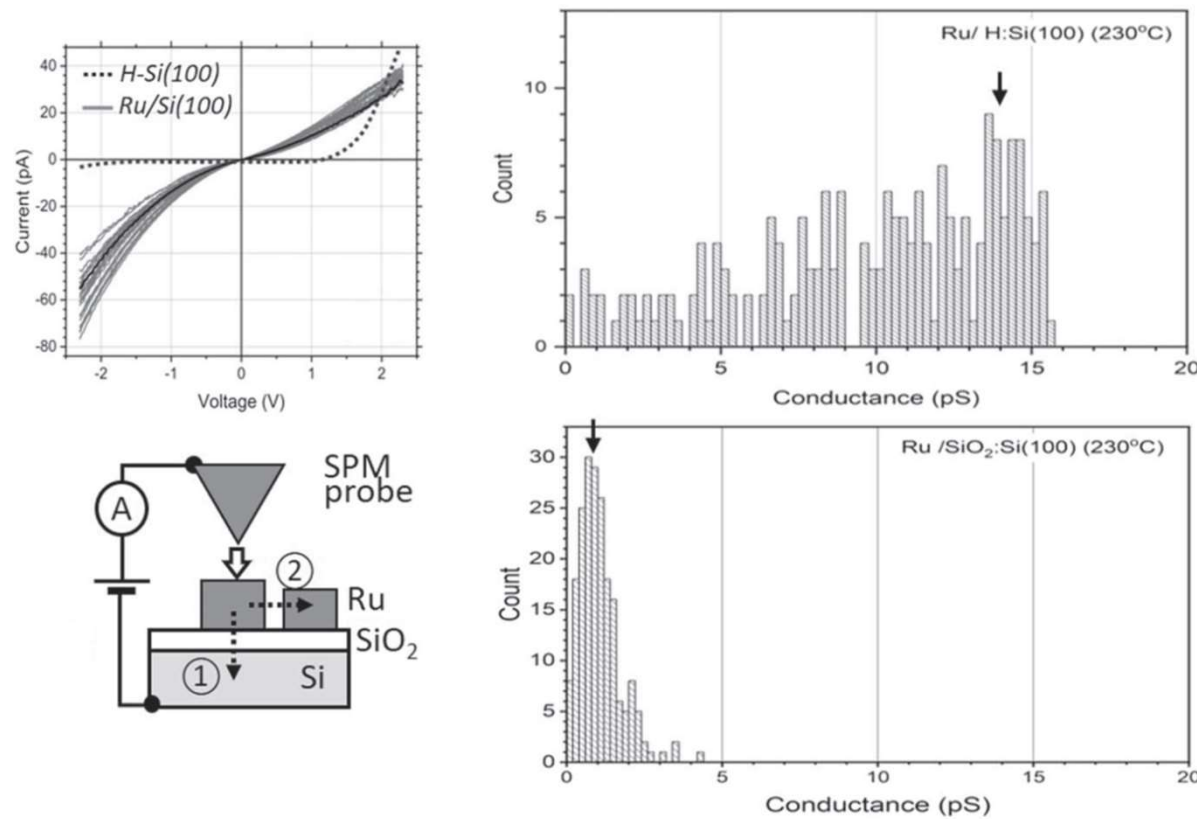


H-Si(100)上:  
平坦なRu膜、電流が流れやすい

SiO<sub>2</sub>/Si(100)上:  
凹凸が大きい、粒子(島)状のRuの集まり  
H-Si(100)上の膜と比較して電流が流れにくい

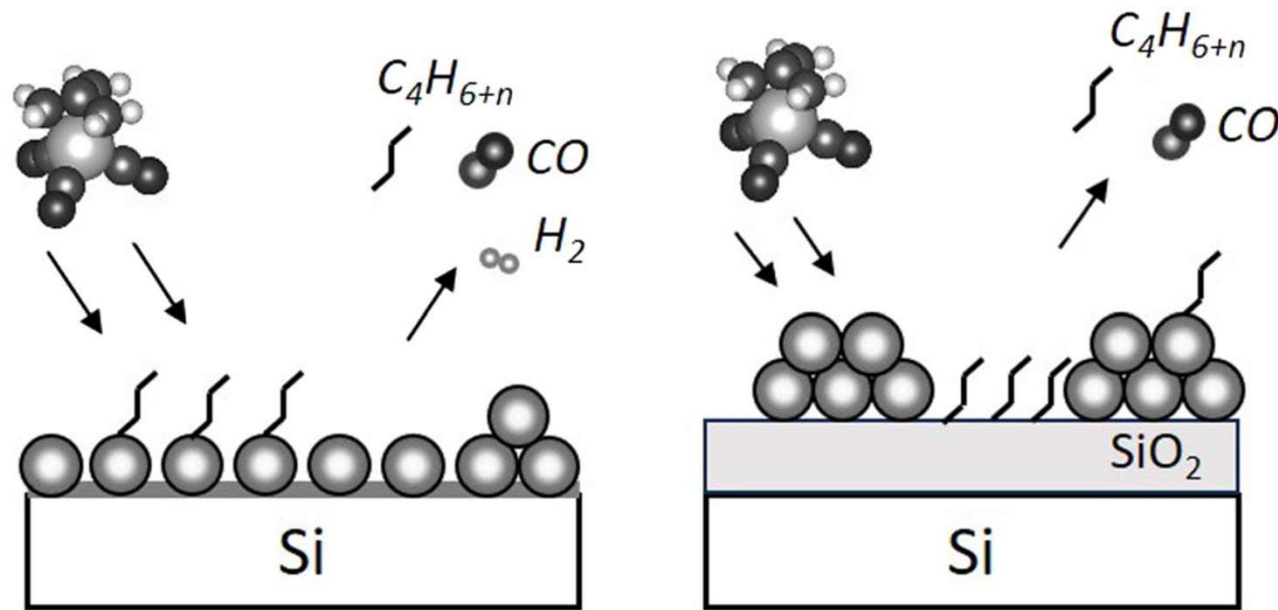
# 実験結果

## SPM測定結果との整合性



# 実験結果

## 基板による膜成長のモデル



# まとめ

1. Ru用プリカーサRu(TMM)(CO)<sub>3</sub>を用いてH-Si(100)基板及びSiO<sub>2</sub>/Si基板上に成膜を行い、STM/STS、in-situ XPS、TEM等を用いて初期の膜成長のメカニズムを評価した。
2. 基板によって成長メカニズムが明確に異なることを確認した。H-Si(100)では成膜初期から層状成長し、良好な金属伝導性を示したのに対し、SiO<sub>2</sub>/Si基板では成膜初期は島状成長し、RuO<sub>2</sub>的な特性を示した。
3. In-situ XPS測定が可能なALD装置を用いた測定結果は、STM/STSやTEM等の測定結果と高い整合性を示し、データの補完に効果的であった。